

- [5] Аронов А. Г. ЖЭТФ, 1976, т. 70, № 4, с. 1477—1489.  
[6] Зайцев А. В. ЖЭТФ, 1986, т. 90, № 3, с. 993—1009.  
[7] Smith A. D., Tinkham M., Skocpol W. J. Phys. Rev., 1980, vol. B22, N 9, p. 4346—4354.

Институт радиотехники  
и электроники АН СССР  
Москва

Поступило в Редакцию  
22 июня 1987 г.

УДК 537.226.33

Физика твердого тела, том 30, с. 3, 1988  
*Solid State Physics, vol. 30, № 3, 1988*

## ВЛИЯНИЕ АДСОРБЦИИ ПОЛЯРНЫХ МОЛЕКУЛ НА ФОРМИРОВАНИЕ СОЛИТОНОВ В НЕСОРАЗМЕРНОЙ ФАЗЕ СОБСТВЕННОГО СЕГНЕТОЭЛЕКТРИКА $\text{Sn}_2\text{P}_2\text{Se}_6$

Ю. В. Попик, И. Д. Сейковский, В. Н. Жихарев

Обнаружены десятки сегнетоэлектриков с несоразмерной фазой (НСФ), однако, насколько нам известно, солитонный механизм привлекался для объяснения свойств только несобственных сегнетоэлектриков. Авторами работ [1, 2] выдвинуто предположение о возможности образования доменоидной периодической структуры в НСФ собственного сегнетоэлектрика  $\text{Sn}_2\text{P}_2\text{Se}_6$ . Такая структура должна быть очень чувствительна к изменению условий экранирования [3, 4], которыми можно управлять адсорбцией [5, 6].

Для исследований подбирались образцы кристаллов с хорошей естественной огранкой. Контакты из серебряной пасты наносились на плоскости, перпендикулярные полярной оси, площадь контактов  $3 \pm 4 \text{ mm}^2$ , толщина образцов  $0.7 \pm 1.5 \text{ mm}$ . Перед проведением адсорбционных измерений с целью очистки поверхности монокристаллические образцы проходили тренировку в вакууме  $7 \cdot 10^{-7} \text{ Па}$ , полученном безмасляной откачкой в течение 10 часов при 420 К. Емкость и добротность образцов изменились в стационарном режиме куметром ВМ-560 на частоте 50 кГц, так как, согласно [1, 2], на более высоких частотах вклад доменоидной структуры в диэлектрическую проницаемость не наблюдался. Измерение зависимости  $\epsilon$  от  $T$  проводилось по точкам со стабилизацией не хуже  $\pm 0.01 \text{ K}$  и шагом в области  $T_i$  0.5 К, а вблизи  $T_{ic}$  — 0.25 К. Результаты температурной зависимости  $\epsilon$  представлены на рис. 1. Видно, что для очищенной поверхности образцов (кривая 1) наши данные, измеренные на частоте 50 кГц, совпадают с результатами [1, 2], полученными при измерениях  $\epsilon$  на частотах  $10^7 \pm 10^9 \text{ Гц}$ , т. е. при наличии очищенной поверхности в НСФ  $\text{Sn}_2\text{P}_2\text{Se}_6$  периодическая доменоидная структура на величине  $\epsilon$  не проявляется. Аналогичные результаты нами получены при адсорбции кислорода (кривая 2) и малых давлениях  $\text{CH}_3\text{OH}$  ( $< 2.6 \text{ Па}$ , кривая 3).

Однако при давлениях паров  $\text{CH}_3\text{OH}$   $3 \pm 13 \text{ Па}$  с понижением температуры в области НСФ наблюдается резкое увеличение  $\epsilon$  (кривая 4). Последующие циклы нагрева—охлаждения представлены кривыми 5 и 6. Наряду с существенным увеличением  $\epsilon$  появляется аномально большой температурный гистерезис в области  $T_{ic}$ , который за пределами НСФ отсутствует.

Из рис. 2 видно, что в режиме напуска паров  $\text{CH}_3\text{OH}$  при температуре образца 198 К резкое увеличение  $\epsilon$  происходит при  $p \approx 13 \text{ Па}$ , а в режиме откачки — его уменьшение при  $p \approx 7 \text{ Па}$ . Ни в сегнетофазе, ни в парафазе

в этой области давлений адсорбата гистерезисный характер изменения  $\epsilon(p)$  не наблюдается.

Характер температурной зависимости эффективного сопротивления потерь образца  $R_s$ , определенного по измерениям добротности, при адсорбции  $\text{CH}_3\text{OH}$  и в вакууме идентичен, хотя величина  $R_s$  при адсорбции в зависимости от давления уменьшается в 10—50 раз.

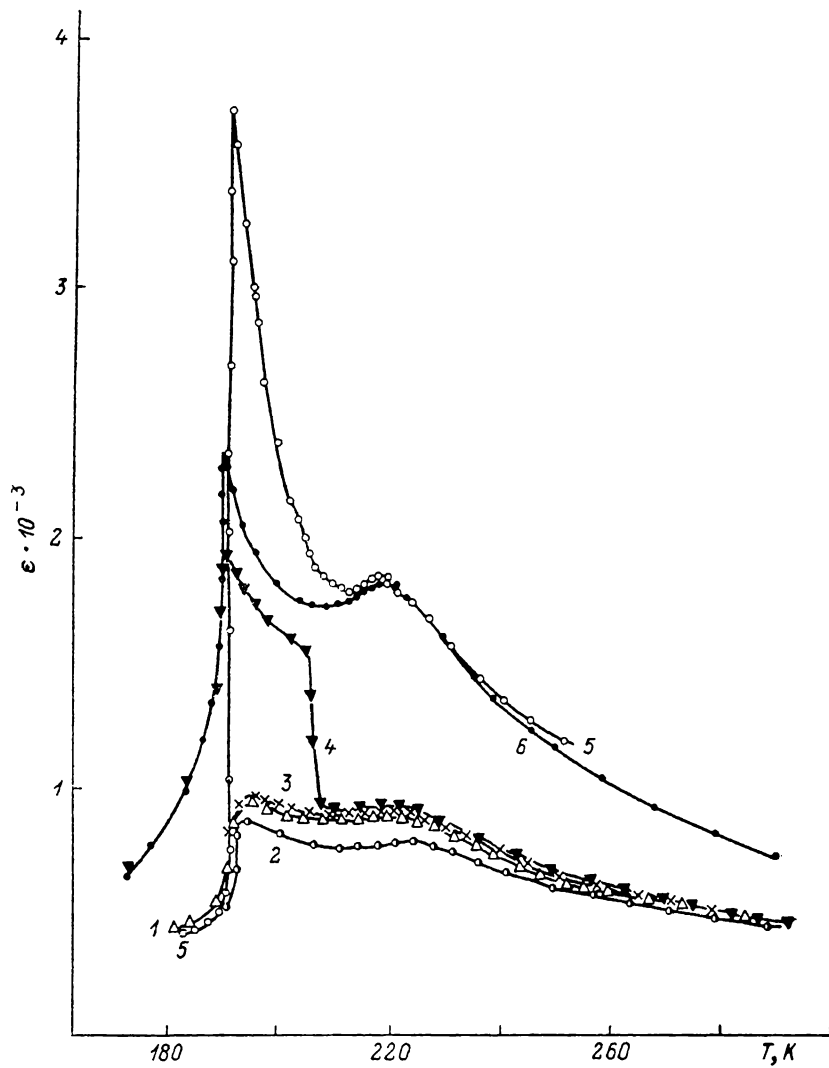


Рис. 1. Температурная зависимость диэлектрической проницаемости монокристалла  $\text{Sn}_2\text{P}_2\text{Se}_6$ .

1 — в вакууме,  $p=7 \cdot 10^{-7} \text{ Па}$ ; 2 — в кислороде,  $p \approx 10 \text{ Па}$ ; 3 — в парах  $\text{CH}_3\text{OH}$ ,  $p \leq 2 \text{ Па}$ ; 4 —  $\text{CH}_3\text{OH}$ ,  $p=3 \text{ Па}$ , первое охлаждение; 5 — нагрев при  $p=3 \text{ Па}$ ; 6 — повторное охлаждение при  $p=3 \text{ Па}$ . Давление указано при температуре 208 К.

При давлениях паров  $\sim 13 \text{ Па}$  в области температур, соответствующих существованию НСФ, не исключена возможность образования пленки конденсированного на образце метилового спирта. Анализ влияния ее на измеряемую емкость образца показал, что в этом случае зависимость  $\epsilon(T)$  имела бы совершенно иной характер. Исключает образование такой пленки и наличие гистерезиса  $\epsilon = \epsilon(T)$  (рис. 1, кривые 5 и 6) и  $\epsilon = \epsilon(p)$  (рис. 2) только в области существования НСФ, а также наблюдаемое на эксперименте существенно различное время установления значения  $\epsilon$  при напуске (больше 2-х часов) и откачке ( $\sim 1$ —3 минуты) паров  $\text{CH}_3\text{OH}$ .

Совокупность полученных нами результатов может быть объяснена следующим образом. В  $\text{Sn}_2\text{P}_2\text{Se}_6$  НСФ характеризуется поперечной волной поляризации, направленной перпендикулярно полярной оси. По мере понижения температуры от  $T_i$  к  $T_{ic}$  длина волны поляризации и ее амплитуда увеличиваются [7, 8]. При наложении на основную волну малого числа высших гармоник формируется доменоподобная структура, однако «стенки» ее толстые, их подвижность очень низкая и поэтому такая структура слабо проявляется на величине  $\epsilon$ .

При слабом заполнении поверхности, когда взаимодействием между адсорбированными молекулами можно пренебречь, геометрия адсорбции будет носить сложный характер. На заполяризованных областях поверхности, соответствующих «гребню» волны поляризации, за счет диполь-дипольного взаимодействия приповерхностной элементарной ячейки и адсорбированной молекулы происходит ориентированная адсорбция, за

пределами этих областей ориентация адсорбированных молекул произвольна. При приближении заполнения к монослойному вследствие диполь-дипольного взаимодействия адмолекулы выстраиваются в виде чередующихся слоев, ширина которых равна половине длины волны поляриза-

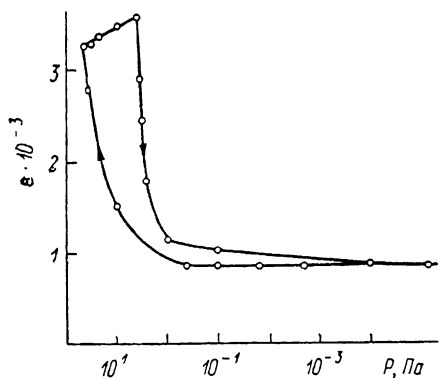


Рис. 2. Зависимость диэлектрической проницаемости  $\text{Sn}_2\text{P}_2\text{Se}_6$  от давления паров  $\text{CH}_3\text{OH}$  при напуске и откачке. Температура образца 198 К.

ции. В пределах каждого слоя ориентация диполей адмолекул одинакова, а в соседних она противоположна. Каждый слой инициирует формирование домена в кристалле, что в конце концов приведет к периодической доменной структуре с тонкими доменными стенками, описываемыми солитонными решениями, т. е. образуется решетка солитонов, которая и вносит основной вклад в увеличение  $\epsilon$ . Медленный характер кинетики  $\epsilon$  в НСФ при адсорбции вдали от  $T_{ic}$  обусловлен тем, что перестройка волны поляризации происходит в слабом поле диполей адсорбированных молекул и формирование решетки солитонов носит в основном флуктуационный характер. Сформировав решетку солитонов, адсорбированные молекулы закрепляют ее, что приводит к понижению  $T_{ic}$ . При нагревании образца из СФ в НСФ сразу после фазового перехода, где система очень лабильна, дипольные молекулы быстро трансформируют волну поляризации в решетку солитонов, при этом вклад солитонов в  $\epsilon$  распространяется практически на всю область существования НСФ.

Таким образом, адсорбция дипольных молекул способствует трансформации волны поляризации в решетку солитонов, очень чувствительную к внешним воздействиям и поэтому вносящую существенный вклад в величину диэлектрической проницаемости.

#### Л и т е р а т у р а

- [1] Высоцанский Ю. М., Гурзан М. И., Майор М. М. ФТТ, 1985, т. 27, № 3, с. 858—864.
- [2] Майор М. М., Высоцанский Ю. М., Бовтун В. П. ФТТ, 1985, т. 27, № 4, с. 1263—1265.
- [3] Ларкин А. И., Хмельницкий Д. Е. ЖЭТФ, 1968, т. 55, № 6 (12), с. 2345—2354.
- [4] Фридкин В. М. Фотосегнетоэлектрики. М.: Наука, 1979. 264 с.
- [5] Беца В. В., Попик Ю. В. ФТТ, 1977, т. 19, № 1, с. 278—280.
- [6] Попик Ю. В., Жихарев В. Н., Беца В. В. ФТТ, 1982, т. 24, № 2, с. 486—493.
- [7] Струков Б. А., Леванюк А. П. Физические основы сегнетоэлектрических явлений в кристаллах. М.: Наука, 1983, с. 212—228.

Ужгородский государственный  
университет  
Ужгород

Поступило в Редакцию  
27 апреля 1987 г.  
В окончательной редакции  
6 июля 1987 г.

УДК 536.21 546.65

Физика твердого тела, том 30, № 3, 1988  
Solid State Physics, vol. 30, № 3, 1988

## ТЕПЛОПРОВОДНОСТЬ $\text{Gd}_2\text{S}_3$ И $\text{Dy}_2\text{S}_3$

С. М. Лугуев, Н. В. Лугуева, В. В. Соколов

Интерес к изучению полуторных сульфидов редкоземельных элементов (РЗЭ) возник в связи с перспективностью их применения в качестве электрооптических, пьезоэлектрических и лазерных материалов [1—4], для которых одной из важных характеристик является теплопроводность.

В настоящей работе приводятся результаты экспериментального исследования теплопроводности сульфида гадолиния  $\text{Gd}_2\text{S}_3$  и сульфида диспрозия  $\text{Dy}_2\text{S}_3$  в интервале температур 80—400 К. Данные о коэффициенте теплопроводности для стехиометрических составов этих соединений в литературе отсутствуют.

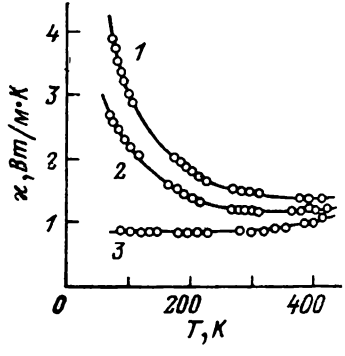


Рис. 1. Температурная зависимость коэффициента теплопроводности  $\kappa$  полуторных сульфидов лантана (1), гадолиния (2) и диспрозия (3) в интервале температур 80—400 К.

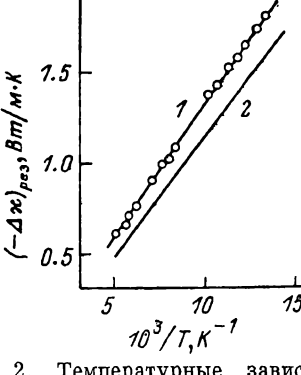


Рис. 2. Температурные зависимости  $(-\Delta\kappa)_{\text{рез}}$  для сульфида диспрозия (1) и теллурида праэодима (2), обусловленные рассеянием фононов на параметрических ионах Dy и Pr соответственно.

Образцы получены кристаллизацией из расплава соответственно сульфида гадолиния и сульфида диспрозия в атмосфере паров серы [5]. Рентгеноструктурный анализ показал, что они имеют структуру  $\text{Th}_3\text{P}_4$  ( $\gamma$ -модификация). Для исследования теплопроводности образцы размерами  $5 \times 5 \times 10$  мм вырезались из крупноблочных поликристаллических слитков  $\text{Gd}_2\text{S}_3$  и  $\text{Dy}_2\text{S}_3$ , прозрачных на просвет. Измерения  $\kappa$  выполнялись в вакууме  $\sim 1.33 \cdot 10^{-3}$  Па абсолютным стационарным методом на установке типа «А», рассмотренной в [6]. Погрешность измерений не превышала 5 %.

На рис. 1 приведены результаты измерения коэффициента теплопроводности  $\text{Gd}_2\text{S}_3$  и  $\text{Dy}_2\text{S}_3$ , полученные в настоящей работе. Здесь же представлены данные  $\kappa$  для аналогичного соединения  $\text{La}_2\text{S}_3$  [7]. Как видно из рисунка, характер температурной зависимости теплопроводности  $\text{Gd}_2\text{S}_3$  аналогичен температурной зависимости теплопроводности  $\text{La}_2\text{S}_3$ . Более